

Nexus Sains dan Teknologi

Homepage jurnal: https://ojs.polmed.ac.id/index.php/nexus sains dan teknologi



Struktur Kristal dan Morfologi Material Bismuth Ferrite Jenis Sillenite (Bi₂₅FeO₄₀); Literature Review

Erna Juwitaa*, Rona Cuanaa, Windy Andarestab

- ^aProgram Studi Teknik Mesin, Jurusan Teknik Mesin, Politeknik Negeri Medan, Jl. Almamater No.1, Padang Bulan, Kec. Medan Baru, Medan, Sumatera Utara 20155, Indonesia
- ^bProgram Studi Teknologi Rekayasa Manufaktur, Jurusan Teknik Mesin, Politeknik Negeri Medan, Jl. Almamater No.1, Padang Bulan, Kec. Medan Baru, Kota Medan, Sumatera Utara 20155, Indonesia
- *Penulis korespondensi: ernajuwita@polmed.ac.id (E.Juwita) Tel:+62858-9380-4662

Sorotan

- Struktur kristal dan morfologi dari bismuth ferrite jenis sillenite (Bi₂₅FeO₄₀)
- Metode persiapan fase murni bismuth ferrite jenis sillenite (Bi₂₅FeO₄₀)
- Pengaruh metode persiapan terhadap struktur kristal dan morfologi bismuth ferrite

INFO ARTIKEL

Riwayat artikel:

Diajukan pada 27 Maret 2025 Direvisi pada 11 April 2025 Disetujui pada 07 Mei 2025 Tersedia daring pada 31 Mei 2025

Kata kunci:

Bismuth Ferrite, Sillenite, Morfologi

Keywords:

Bismuth Ferrite, Sillenite, Morphology

ABSTRAK

Review artikel ini dilakukan untuk membahas metode pembuatan material bismuth ferrite dan struktur kristal serta mofologi yang dihasilkan. Berdasarkan hasil review diperoleh bahwa bismuth ferrite telah berhasil disintesis dengan berbagai metode sintesis, diantaranya metode hidrotermal, sol-gel, kopresipitasi, microwave assisted hidrotermal, combustion, dan lain-lain. Metode-metode sintesis tersebut dapat menghasilkan material bismuth ferrite dengan beberapa struktur fase. Umumnya struktur fase dari bismuth ferite yang dihasilkan adalah BiFeO₃, Bi₂Fe₄O₉, dan Bi₂₅FeO₄₀. Bismuth ferrite jenis BiFeO₃ merupakan jenis *perovskite* dan Bi₂Fe₄O₉ adalah jenis mullite. Sedangkan Bi₂₅FeO₄₀ merupakan bismuth ferrite jenis sillenite. Beberapa penelitian melaporkan telah berhasil mendapat fase Bi₂₅FeO₄₀ tunggal dengan tanpa adanya fase impuritas yang muncul. Bi₂₅FeO₄₀ memiliki struktur body-center cubic dan termasuk dalam kelompok grup ruang I23. Rata-rata ukuran kristalit fase tunggal Bi25FeO40 yang dilaporkan dari berbagai metode sintesis adalah berkisar skala puluhan hingga ratusan nanometer dengan parameter kisi (a) yang hampir sama yaitu 1,01000-1,01990 nm. Morfologi dari Bi₂₅FeO₄₀ bervariasi mulai dari bentuk bulat, kubik, sampai polyhedral. Selain itu, morfologi dari bismuth ferrite juga terlihat teraglomerasi dalam beberapa penelitian. Pola SAED memperlihatkan bahwa Bi₂₅FeO₄₀ memiliki struktur kristal polikristalin. Hasil yang beragam menunjukkan ada pengaruh dari metode sintesis dan parameter pemrosesan yang digunakan terhadap struktur kristal, ukuran partikel, dan morfologi dari bismuth ferrite. Tujuan dari review ini adalah menjadi acuan bagi peneliti untuk dapat menghasilkan material bismuth ferrite dengan berbagai sifat yang diinginkan dan dapat diaplikasikan dalam berbagai bidang.

ABSTRACT

This study was reviewed to discussed about the processes used to create bismuth ferrite materials and the morphology and crystal structure that are produced. Several synthesis techniques, such as the hydrothermal method, sol-gel, co-precipitation, microwave-assisted hydrothermal, combustion, and others, have been effectively used to create bismuth ferrite, according to the review findings. Bismuth ferrite material with various phase structures can be produced using these synthesis techniques. Bismuth ferrite often exhibits the following phase structures: BiFeO₃, Bi₂FeO₄O₉, and Bi₂₅FeO₄₀. Whereas Bi₂Fe₄O₉ is of the mullite type, BiFeO₃ is of the perovskite type. However, Bi25FeO40 is categorized as a bismuth ferrite of the sillenite type. The effective synthesis of a single-phase Bi25FeO40 without any impurity phases has been documented in a number of research. Bi25FeO40 is a member of space group I23 and has a body-centered cubic structure. With a lattice parameter (a) of roughly 1.01000-1.01990 nm, the reported average crystallite size of single-phase Bi25FeO40 produced by different processes varies from tens to hundreds of nanometers. Bi25FeO40 has a variety of morphologies, including polyhedral, cubic, and spherical forms. Furthermore, agglomeration has been noted in the morphology of bismuth ferrite in several investigations. Bi25FeO40 has a polycrystalline crystal structure, according to SAED patterns. The different findings imply that the crystal structure, particle size, and morphology of bismuth ferrite are influenced by the synthesis technique and processing factors. Researchers can use the evaluation as a guide to create bismuth ferrite materials with the apropriate qualities that can be used in a variety of aplications.

1. Pendahuluan

Material multiferoik merupakan salah satu material yang banyak menarik perhatian para Peneliti. Material ini menunjukkan sifat yang unik dimana dapat memiliki dua atau lebih susunan *ferroic* secara bersamaan, misalnya feroelektrik, feromagnetik, dan feroelastik. Sifat feroelektrik dan magnetik yang dimiliki oleh material multiferoik membuat material tersebut menjadi bagian penting dalam banyak struktur nano [1-4]. Ada banyak material multiferoik yang telah diteliti, salah satunya adalah *bismuth ferrite*. *Bismuth ferrite* memiliki beberapa kelebihan yang unik, diantaranya polarisasi remanen yang besar (100-230 μ C/cm²), suhu Currie yang tinggi (~830°C), memiliki energi celah yang relatif rendah (<2,8 eV) dan koesistensi sifat feroelektrik dan magnetik di suhu ruang [5]. Karena kelebihannya ini *bismuth ferrite* telah banyak digunakan dalam berbagai aplikasi, misalnya dalam perangkat penyimpanan, sensor magnetoelektrik, spintronik, biomedis (pencitraan, antibakteri, dan pengobatan tumor), dan fotokatalis [6-8].

Bismuth ferrite secara umum memiliki tiga jenis fase kristal diantaranya: BiFeO₃, Bi₂Fe₄O₉, dan Bi₂5FeO₄₀ [9,10]. Bismuth ferrite jenis BiFeO₃ atau fase utama dari bismuth ferrite disebut juga jenis perovskite memiliki struktul kristal rhombohedral R3c [11,12]. BiFeO₃ memiliki struktur morfologi yang unik dengan ABO₃. Atom O menempel pada permukaan, atom A terletak di bagian sudut, dan atom B terletak pada bagian tengah body. Atom A dan B juga disebut sebagai kation sedangkan atom O (oksigen) disebut anion [13]. Pada BiFeO₃, susunan ferrolektrik berasal dari pasangan elektron tunggal Bi³⁺, sedangkan susunan magnetik diakibatkan dari spin Fe yang tidak berpasangan [14]. Fase kristal lainnya yaitu Bi₂Fe₄O₉, dan Bi₂₅FeO₄₀, kedua fase ini kadang juga disebut sebagai fase kedua dari bismuth ferrite [15,16].

Fase kristal Bi₂Fe₄O₉ atau jenis *bismuth mullite* memiliki struktur kristal *orthorhombic* dan pusat simetri dengan grup ruang Pbam [4,17]. Sedangkan *bismuth ferrite* jenis Bi₂₅FeO₄₀ merupakan material *sillenite* yang termasuk dalam grup ruang kubik I23. *Bismuth ferrite* jenis ini memiliki parameter kisi sebesar 1,01897 nm [9]. FeO₄ tetrahedral berada di sudut-sudut dan pusat sel satuan yang terhubung oleh kerangka polihedrik Bi-O [10]. Material dengan struktur *sillenite* memiliki beberapa kelebihan, diantaranya memiliki: 1) struktur kristal yang unik, 2) kemampuan fotoreaktif yang tinggi, 3) respon yang cepat, 4) sifat dielektrik, fotokromik, dan elektro-optik, 5) energi celah pita yang sempit yaitu kurang dari 2,9 eV, serta 5) dapat didaur ulang [18].

Saat ini para peneliti fokus dalam mengadopsi beberapa metode sintesis material bismuth ferrite untuk dapat mengontrol ukuran, bentuk, dan morfologi serta sifat yang diinginkan dari suatu material tersebut. Bismuth ferrite telah banyak diteliti dengan berbagai metode sintesis dan telah menghasilkan produk akhir dengan sifat atau karakter yang berbeda-beda. Beberapa metode sintesis yang telah diteliti untuk menghasilkan bismuth ferrite diantaranya metode sol gel [10], hidrotermal [19], kopresipitasi [20,21], dan pembakaran (combustion synthesis) [22]. Dengan beberapa keunikan dari bismuth ferrite jenis sillenite yang telah dijelaskan, penelitian ini bertujuan untuk mengkaji struktur kristal dan sifat morfologi dari bismuth ferrite dengan struktur sillenite sehingga diharapkan dapat menjadi acuan dalam melakukan penelitian lebih lanjut mengenai bismuth ferrite dan aplikasinya.

2. Metode

Penelitian ini dilakukan dengan pendekatan analisis literatur dari berbagai sumber artikel ilmiah nasional maupun internasional yang membahas struktur kristal dan sifat morfologi material bismuth ferrite jenis sillenite (Bi25FeO40). Fokus utama penelitian ini adalah studi literatur mengenai sintesis bismuth ferrite jenis sillenite serta karakterisasi struktur kristal dan morfologinya.

Kajian terkait struktur kristal diperoleh melalui analisis literatur terhadap hasil pengukuran menggunakan X-ray Diffractometer (XRD). Sementara itu, kajian morfologi didasarkan pada analisis literatur dari hasil pengukuran menggunakan Field Emission Scanning Electron Microscopy (FESEM)/Scanning Electron Microscopy (SEM) serta High-Resolution Transmission Electron Microscopy (HR-TEM)/Transmission Electron Microscopy (TEM). Selain itu, penelitian ini juga membahas berbagai metode sintesis yang digunakan dalam memperoleh material bismuth ferrite berdasarkan hasil penelitian yang dilakukan oleh para peneliti sebelumnya.

3. Hasil dan Pembahasan

3.1 Metode Sintesis Bismuth Ferrite

Berbagai metode telah digunakan untuk memperoleh senyawa *bismuth ferrite* dengan berbagai ukuran. Metode sintesis yang bervariasi ini dimaksudkan mengontrol ukuran, bentuk dan morfologi dengan sifat yang diinginkan dan disesuaikan. Beberapa metode yang digunakan untuk mensintesis *bismuth ferrite* ini telah menghasilkan struktur fase yang berbeda-beda. Beberapa struktur fase yang dihasilkan adalah BiFeO₃, Bi₂Fe₄O₉, dan Bi₂₅FeO₄₀, serta campuran dari ketiga fase *bismuth ferrite* tersebut. Selain struktur fase yang berbeda-beda, berbagai metode sintesis juga telah menghasilkan ukuran kristal, morfologi, sifat optik, sifat magnetik, elektrik dan sifat lainnya yang berbeda-beda dari *bismuth ferrite*. Metode yang telah digunakan untuk menghasilkan *bismuth ferrite* diantaranya metode hidrotermal [19,23,24], *microwave assisted hydrothermal* [25,26], kopresipitasi [20,21,27], sol-gel [28,29], *combustion* [22,30], *molten salt* [31]. Berikut penjelasan dari beberapa metode yang sering digunakan dalam mensintesis *bismuth ferrite*.

3.1.1. Metode hidrotermal

Metode hidrotermal ini disebut juga sebagai metode autoklaf karena melibatkan pemanasan suspensi akuatik dari garam yang tidak larut dalam autoklaf pada tekanan dan suhu sedang, sehingga dapat terjadi kristalisasi dari fase yang diinginkan. Metode ini sangat popular dalam sintesis nanopartikel *perovskite* hal ini karena efek sinergis dari pelarut, tekanan, dan suhu yang dapat membuat produk akhir yang stabil dan dapat menghambat terjadinya pembentukan fase impuritas [8]. Salah satu keuntungan dari metode tersebut ialah dapat menyintensis material mikrokristalin atau nanokristalin dengan suhu yang jauh lebih rendah jika dibandingkan dengan metode sol-gel. Pada proses sol-gel, suhu yang digunakan relatif tinggi, misalnya 500°C digunakan untuk mengalsinasi gel sehingga diperoleh *bismuth ferrite*. Sedangkan pada metode hidrotermal dengan menggunakan suhu yang lebih rendah dapat mensintesis *bismuth ferrite*. Metode ini dapat menawarkan kesempatan untuk mengontrol kemurnian, ukuran, dan material *bismuth ferrite* yang lebih baik [32]. Dibalik kelebihannya, metode ini juga memiliki kekurangan. Kekurangan dari metode hidrotermal yaitu menggunakan autoklaf yang mahal. Selain itu, ketidakmampuan melakukan analisis *in situ* terhadap kristal yang tumbuh dikarenakan kondisi reaksi yang sangat keras [33].

P. Kumari dan N. Khare, berhasil mensintesis nanopartikel *bismuth ferrite* dengan menggunakan metode hidrotermal. *Bismuth nitrate* [Bi(NO₃)₃] dan besi *nitrate* [Fe(NO₃)₃] digunakan sebagai material dasar dan dilarutkan kedalam asam *nitrate* encer (HNO₃), kalium hidroksida (KOH) digunakan sebagai *mineralizer*. Suhu reaksi yang digunakan adalah 120°C

dalam waktu 16 jam. Struktur fase yang dihasilkan dalam penelitian ini adalah nanopartikel bismuth ferrite jenis sillenite (Bi₂₅FeO₄₀), dan tidak ada fase impuritas yang teramati. Rata-rata ukuran kristal dari nanopartikel Bi₂₅FeO₄₀ adalah ~25 nm. Nanopartikel Bi₂₅FeO₄₀ terlihat memiliki ukuran yang bervariasi, beberapa memiliki ukuran yang kecil dan yang lainnya memiliki ukuran yang besar [19]. Selain itu, X. S. Nguyen menggunakan Bi(NO₃)₃5H₂O dan Fe(NO₃)₃9 H₂O sebagai raw material yang dilarutkan kedalam air deionisasi. Suhu rekasi yang dibutuhkan untuk menghasilkan bismuth ferrite adalah 180°C selama 12 jam. Dalam penelitian ini, fase Bi₂₅FeO₄₀ dihasilkan dan tanpa adanya fase impuritas. Rata-rata ukuran kristalitnya sebesar 25,6 nm. Material bismuth ferrite yang dihasilkan terdiri atas sejumlah besar partikel bulat yang tersebar dengan baik [24].

3.1.2. Metode Sol Gel

Salah satu pendekatan *bottom-up* adalah proses sol-gel. Proses ini melibatkan penggunaan alkoksida logam, mengalami reaksi hidrolisis dan polimerasi kondensasi untuk memperoleh gel. Setelah proses anil, gel tersebut berubah dari gel berpori menjadi sebuah produk padat yang diinginkan. Dalam proses sol-gel ini, faktor utama yang mempengaruhi proses tersebut adalah rasio air di dalam larutan, suhu larutan, dan besarnya pH larutan [8]. Metode sol-gel memiliki keuntungan, diantaranya dapat menghasilkan serbuk berpori sangat halus yang seragam dan dapat ditingkatkan skala produksinya menjadi skala industri. Sifat fisik dan kimia dari produk akhir *bismuth ferrite* yang dihasilkan dari metode ini sangat dipengaruhi oleh langkah-langkah pada proses hidrolisis dan pengeringan [2]. Pada umumnya, metode ini merupakan cara yang sederhana untuk mensintesis nanopartikel *bismuth ferrite*. Akan tetapi, pengontrolan parameter pemrosesan harus dilakukan dengan hari-hati sehingga dapat menghasilkan fase kristal, morfologi, dan ukuran partikel yang diinginkan [32].

H. Wu et al. telah berhasil mendapatkan nanopartikel bismuth ferrite menggunakan metode sol-gel dengan Bi(NO₃)₃5H₂O (bismuth nitrate nonahydrate), Fe(NO₃)₃9H₂O (besi nitrate pentahydrate), dan C₆H₈O₇ sebagai raw material. Larutan yang dihasilkan dari raw material tersebut diaduk pada suhu 70°C dalam waktu 3 jam untuk membuat gel berwarna cokelat dan transparan, lalu dimasukan ke dalam oven selama 16 jam dengan suhu 120°C untuk menghasilkan xerogel. Xerogel yang dihasilkan, kemudian digiling menjadi serbuk dan dipanaskan hingga suhu 550°C selama 2 jam. Pola XRD yang muncul menunjukkan fase bismuth ferrite yang sesuai dengan struktur rhombohedral dan tidak ditemukan fase impuritas di dalamnya. Partikel bismuth ferrite yang dihasilkan menampilkan morfologi yang tidak teratur dan menggumpal terhadap satu sama lain, hal ini karena sifat feromagnetik dari nanopartikel bismuth ferrite yang lemah. Distribusi ukuran partikel dari nanopartikel bismuth ferrite sangat lebar, dimana berkisar antara 30 sampai 200 nm dengan ukuran partikel rata-rata sekitar 90 nm [28].

3.1.3. Metode kopresipitasi

Metode kopresipitasi memiliki kelebihan yaitu sebagai metode yang sederhana dan efesien yang penggunaannya mudah, dan menggunakan suhu yang rendah serta membutuhkan waktu yang singkat [34]. Akan tetapi, metode ini juga memiliki kekurangan seperti sulitnya dalam mengontrol ukuran partikel dan distribusi ukurannya, kristalisai yang buruk dan terjadi agregasi. Presipitasi yang cepat seringkali terjadi sehingga menghasilkan partikel dengan ukuran yang besar [2].

Bi(NO₃)₃5H₂O dan Fe(NO₃)₃9 H₂O sebagai *raw material* dan KOH sebagai presipitan digunakan dalam penelitian yang dilakukan oleh S. kalikeri dan V. S. kodialbail. Partikel yang dihasilkan dalam penelitian tersebut kemudian dikalsinasi dengan suhu 400°C selama 2 jam. Fase campuran dari *bismuth ferrite* yang terdiri dari BiFeO₃, Bi₂₅FeO₄₀, dan Bi₂Fe₄O₉ muncul dalam hasil analisis XRD yang dilakukan. Rata-rata ukuran kristalit dari partikel *bismuth ferrite* ini adalah 70 nm. Partikel yang terbentuk, terlihat memiliki ukuran kecil dan memiliki bentuk kuasi-bola atau oval dengan beberapa agregat besar [21]. Selain itu, penelitian sebelumnya yang telah dilakukan penulis juga menggunakan metode kopresipitasi dengan Bi₅O(OH)₉(NO₃)₄ dan FeCl₃(OH)₉(NO₃)₄ sebagai prekursor utama dan NaOH sebagai presipitan. Suhu reaksi dalam campuran larutan yang digunakan adalah 100°C dalam waktu 45 menit. Fase tunggal *bismuth ferrite* jenis Bi₂₅FeO₄₀ dengan ukuran kristalit 35 nm muncul dari pola XRD yang ditunjukkan dan tidak ada fase kedua yang teramati. Morfologi dari nanopartikel teraglomerasi dan nanopartikel berbentuk hampir bulat [20].

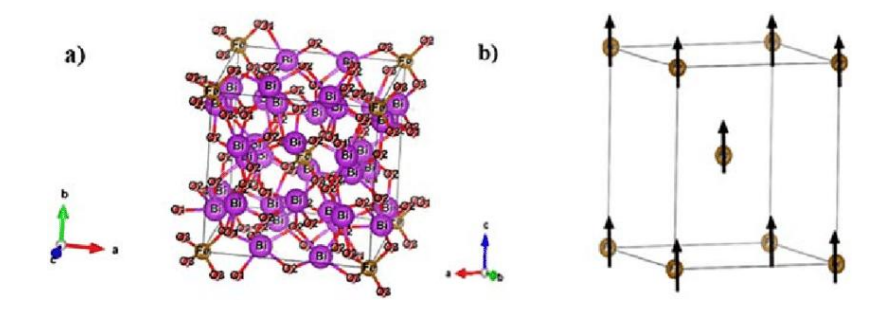
Sehingga dapat disimpulkan dari beberapa metode yang digunakan untuk mensintesis bismuth ferrite dapat menghasilkan ukuran butir dan morfologi yang beragam. Faktor lain yang juga dapat mepengaruhi ukuran butir dan morfologi bismuth ferrite adalah parameter pemrosesan [32]. Berdasarkan dimensinya, material dengan struktur nano dapat diklasifikasikan menjadi beberapa kelas, diantaranya: 0 dimensi (0D), 1 dimensi (1D), 2 dimensi (2D), dan 3 dimensi (3D). Material nanostruktur dari 0D adalah nanopartikel. Nanomaterial yang termasuk 1D adalah nanorod, nanowire dan nanotube. Nanomaterial 2D seperti nanoisland dan semua material thin film, sedangkan untuk material 3D contohnya adalah nanowire dan tubes array [13]. Gambar 1 menunjukkan beberapa bentuk nanotruktur dari bismuth ferrite serta pengaruhnya terhadap sifat-sifat yang dihasilkan.



Gambar 1. Bismuth ferrite dengan berbagai struktur dimensi dan sifat-sifatnya yang dihasilkan [33]

3.2 Analisis Struktur Kristal dengan Menggunakan Difraksi Sinar X

Bi₂₅FeO₄₀ merupakan bismuth ferrite jenis sillenite dengan struktur body-center cubic yang termasuk dalam kelompok grup ruang I23 [7,35]. Struktur umum dari kristal bismuth oksida sillenite didefinisikan sebuah atom bismuth (Bi³⁺) yang dikelilingi oleh 8 atom oksigen yang berbagi sudut dengan polyhedron BiO₈ lainnya dan ion trivalent MO₄ berada di sudut-sudut dan pusat kubus [18].

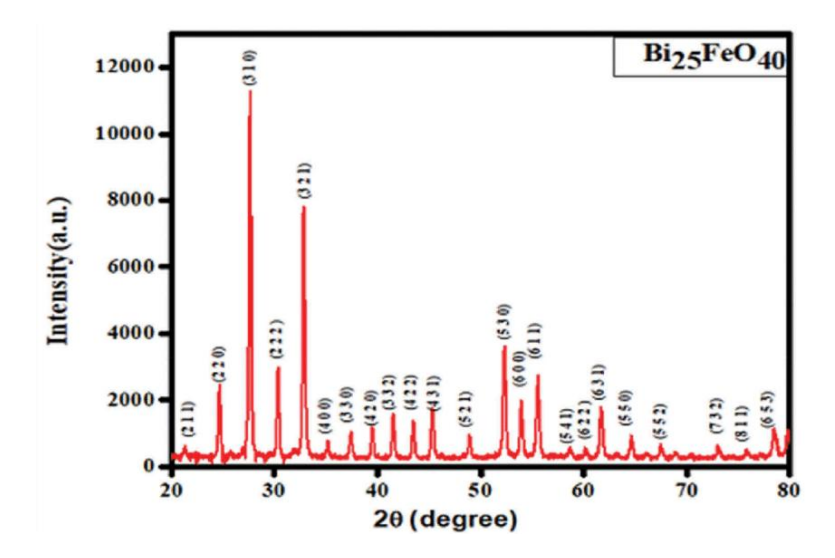


Gambar 2. (a) struktur kristal dari material Bi₂₅FeO₄₀ dan (b) struktur magnetik yang stabil dari material Bi₂₅FeO₄₀ [36].

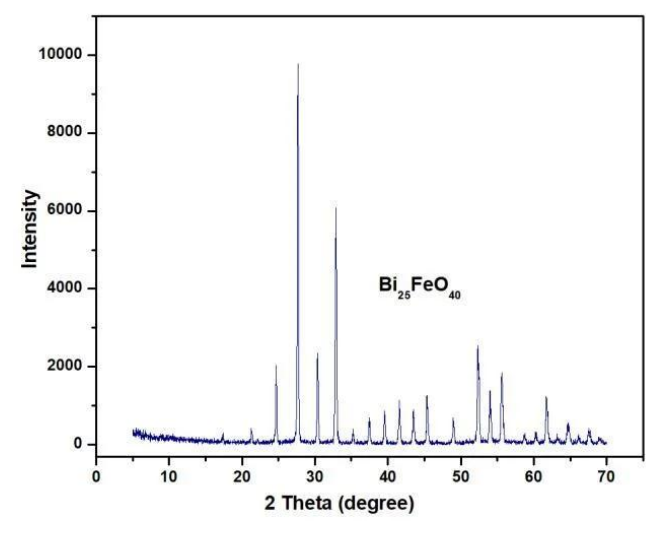
Gambar 2a menunjukan struktur kristal dari material *bismuth ferrite* jenis *sillenite* (Bi₂₅FeO₄₀), sedangkan gambar 2b memperlihatkan struktur magnetik stabil dari material *sillenite* (Bi₂₅FeO₄₀). Berdasarkan analisis struktur *sillenite bismuth ferrite* diketahui bahwa kation Bi³⁺ menempati dua sisi kristlografi yang tidak setara, yaitu 24f (Bi1) dan 2a (Bi2). Sisi 2a ini juga ditempati kation Fe³⁺. O²⁻ yang merupakan anion berada pada dua posisi kristalografi yang berbeda, 24 f (O2) dan 8c (O1 dan O3). Atom oksigen 8c (O3) ini memiliki koordinasi tetrahedal, disekitar kation pada posisi 2a [37].

Berdasarkan penelitian yang telah dilakukan, dari pola difraksi X-ray menunjukkan bahwa puncak difraksi dari fase $Bi_{25}FeO_{40}$ terletak di $2\theta=27,68^{\circ};~30,32^{\circ};~32,90^{\circ};35,28^{\circ};37,55^{\circ};~39,56^{\circ};41,68^{\circ};43,66^{\circ};45,47^{\circ};49,02^{\circ};52,50^{\circ};54,16^{\circ};55,68^{\circ};57,01^{\circ};61,74^{\circ};40,63^{\circ};40,02^{\circ};50,0$

bidang hkl (310); (222); (321); (400); (330); (420); (332); (422); (431); (521), (530); (600); (611); (620); (631); dan (444) secara berurutan (JCPDS no. 46-0416) [19]. Penelitian ini sejalan dengan yang telah dilaporkan oleh M. K. Verma *et al.* dimana puncak yang paling kuat dari $Bi_{25}FeO_{40}$ dalam pola XRD berada pada bidang hkl (310); (220); (530); (222); (600); (611); (631); dan (333) [9]. Pola difraksi x-ray dari *bismuth ferrite* tipe *sillenite* dapat dilihat pada gambar 3.



Gambar 3. (a) Pola difraksi XRD dari keramik Bi₂₅FeO₄₀ dengan suhu sintering 800°C dalam waktu 8 jam [9].



Gambar 3. (b) Pola XRD mikrosfer kluster Bi₂₅FeO₄₀ [24]

Penelitian yang dilakukan oleh F. Sharmin dan M.A. Basith yang menggunakan metode hidrotermal dengan doping 10% Gd pada posisi Bi dan 10% Cr pada posisi Fe, menunjukkan adanya pengaruh suhu reaksi terhadap sturuktur fase dari *bismuth ferrite*. Pada suhu reaksi 120-160°C puncak difraksi yang muncul sesuai dengan struktur fase Bi₂₅FeO₄₀ dengan sedikit impuritas yaitu Bi₂Fe₄O₉ dan Gd(OH)₃, dimana jelas terlihat pada sintesis dengan suhu rendah. Namun untuk suhu reaksi diatas 160°C struktur kristal hampir rusak [7]. Penelitian lain yang

dilakukan oleh M. Zhou *et al.* menyatakan bahwa fase Bi₂₅FeO₄₀ dapat timbul dan stabil pada suhu hidrotermal 120-180°C, tetapi ketika suhu meningkat menjadi 200°C fase lain dari *bismuth ferrite* terbentuk yaitu BiFeO₃ [38]. Selain itu, Y. Sun *et al.* melaporkan bahwa pada suhu sintesis 100°C fase Bi₂₅FeO₄₀ tanpa impuritas muncul. Ketika suhu dinaikan menjadi 110°C teridentifikasi adanya komposit yang tediri dari fase Bi₂₅FeO₄₀ dan BiFeO₃. Apabila suhu dinaikan menjadi 120°C, semua puncak yang muncul merupakan fase BiFeO₃ dan tidak ada impuritas yang teramati [35]. Dapat disimpulkan bahwa fase Bi₂₅FeO₄₀ adalah fase pertama yang terbentuk pada suhu yang lebih rendah, kemudian berubah menjadi fase BiFeO₃ saat suhu menjadi lebih tinggi [38].

Perhitungan ukuran kristal pada $Bi_{25}FeO_{40}$ dapat dilakukan dengan menggunakan persamaan Deybe-Scherrer dibawah ini.

$$D = \frac{k\lambda}{\beta\cos\theta} \tag{1}$$

Dimana D adalah rata-rata ukuran kristalit, k menunjukkan konstanta *Scherrer* (k=0,9), λ adalah panjang gelombang X-ray (λ = 0,15406 nm), β merupakan lebar dari setengah puncak difraksi dan θ menunjukkan sudut bragg [39]. Berdasarkan analisis dari beberapa penelitian sebelumnya terdapat beberapa variasi ukuran kristalit dari Bi₂₅FeO₄₀, hal ini dikarenakan ada beberapa faktor yang mempengaruhinya salah satunya metode sintesis yang digunakan. Tabel 1 menunjukkan beberapa ukuran kristalit dari Bi₂₅FeO₄₀ dengan berbagai metode.

Metode Sintesis	Waktu reaksi	Suhu Reaksi (°C)	Material	Ukuran Kristal/d (nm)	Ref.
Hidrotermal	16 jam	120	Bi(NO ₃) ₃ , Fe(NO ₃) ₃ , KOH	~25	[19]
Hidrotermal dan Combustion (Pembakaran)	6 jam	100	Bi(NO ₃) ₃ .5H ₂ O, Fe(NO ₃) ₃ .9H ₂ O, NaOH (hidrotermal) dan Starch (combustion)	75-159	[22]
Hidrotermal	12 jam	180	Bi(NO ₃) ₃ .5H ₂ O, Fe(NO ₃) ₃ .9H ₂ O, KOH, Citric acid, dan Sodium alginate	25,6	[24]
Semi-wet (Glycine-assisted chemical route)	Tidak disebutkan	70-80	Bi(NO ₃) ₃ .5H ₂ O, Fe(NO ₃) ₃ .9H ₂ O, dan Glycine	13,6	[9]
Kopresipitasi	45 menit	100	Bi ₅ (OH) ₉ (NO ₃) ₄ , FeCl ₃ .6H ₂ O, dan NaOH	35-41,5	[20]

Tabel 1. Ukuran kristal Bi₂₅FeO₄₀ dari beberapa metode sintesis

Pada tabel 1 terlihat bahwa ukuran kristal yang berbeda-beda meskipun menggunakan metode sintesis yang sama. Hal itu karena ada perlakuan lain yang diberikan sehingga dapat mempengaruhi ukuran kristal yang diperoleh, misalnya waktu reaksi, suhu reaksi, dan perlakuan lainnya yang mungkin dapat mempengaruhi ukuran kristal dari material. Selain itu, dari pola difraksi x-ray juga dapat menentukan nilai parameter kisi dari suatu material. Nilai

parameter kisi dari *bismuth ferrite* dengan struktur fase Bi₂₅FeO₄₀ dari beberapa metode sintesis dapat dilihat pada tabel 2.

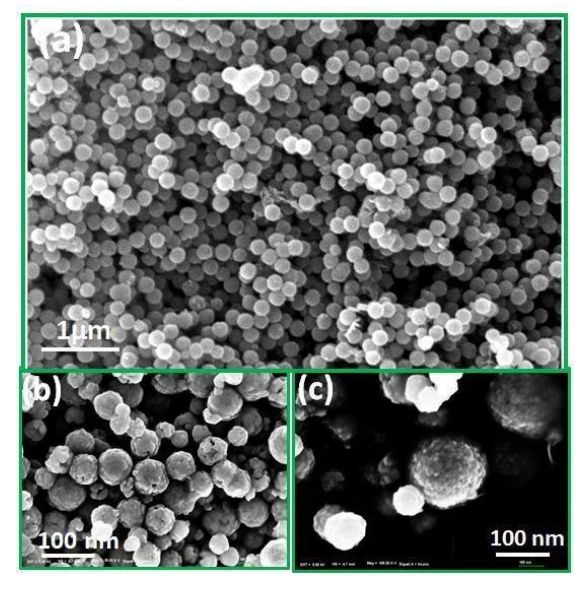
Tabel 2	. Nilai	parameter	kisi dari	fase	Bi ₂₅ FeO ₄₀
---------	---------	-----------	-----------	------	------------------------------------

Metode	Parameter kisi/a (nm)	Ref.
Hidrotermal	1,01990	[22]
Pembakaran (combustion)	1,01859	[22]
Molten-salt growth	1,01849	[31]
Solid-state	1,01835	[40]
kopresipitasi	1,01000	[20]

3.3 Analisis Morfologi

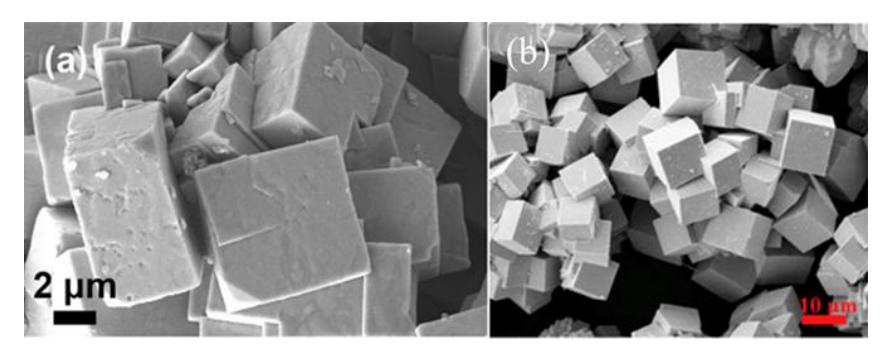
a. Analisis Morfologi dengan Menggunakan FESEM dan SEM

Dari beberapa penelitian yang telah dilakukan oleh peneliti, hasil analisis FESEM maupun SEM dari Bi₂₅FeO₄₀ memiliki morfologi dengan bentuk yang cukup beragam. Mulai dari bentuk bulat, kubik, sampai *polyhedral* [24,31,41]. Sifat permukaan dari Bi₂₅FeO₄₀ berdasarkan hasil karakterisasi SEM dan FESEM dari penelitian yang dilakukan X. S. Nguyen yang menggunakan metode sintesis hidrotemal dapat dilihat pada gambar 4. Hasil penelitian tersebut menunjukkan bahwa material terdiri dari kumpulan sejumlah besar partikel berbentuk bulat yang terdispersi dengan baik. Partikel-partikel tersebut terlihat memiliki bentuk dan ukuran yang seragam, dimana sebagian besar partikel berbentuk bola dengan ukuran 300-500 nm. Selain itu, citra FESEM dari suatu partikel bulat menunjukkan bahwa partikel Bi₂₅FeO₄₀ ini merupakan kluster nanokristal koloid dengan arsitektur hierarkis, dan tersusun dari banyak kristalit tunggal yang masing-masing memiliki ukuran sekitar 25 nm [24]. Penelitian ini juga diperkuat dengan hasil yang didapatkan oleh Y. Sun *et al.* dimana bentuk morfologi dari Bi₂₅FeO₄₀ adalah mikrosfer dengan diameter 16*µm* [35].



Gambar 4. (a,b) SEM dan (c) FESEM dari mikrosfer kluster Bi₂₅FeO₄₀ [24]

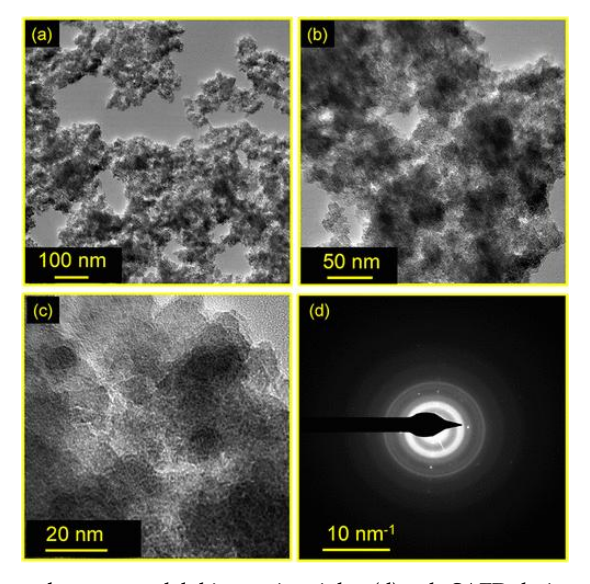
G. Wang *et al.* menunjukkan morfologi berbentuk kubik dari partikel Bi $_{25}$ FeO $_{40}$ dengan rata-rata ukuran partikel sekitar 10 μm dan permukaannya yang halus dari foto FE-SEM [42]. Hal serupa juga disampaikan oleh Z. Xiong dan L. Cao, citra SEM yang ditampilkan menunjukkan morfologi berbentuk mikrokubus teratur dengan ukuran rata-rata sekitar 8 μm dari sampel Bi $_{25}$ FeO $_{40}$ murni [41]. Selain itu, partikel Bi $_{25}$ FeO $_{40}$ dengan bentuk polihedral yang memiliki ukuran tidak merata juga telah dilaporkan oleh L. Ren [31]. Gambar 6 merupakan morfologi berbentuk kubus dari Bi $_{25}$ FeO $_{40}$.



Gambar 5. (a) citra FESEM dari Bi₂₅FeO₄₀ [42] (b) citra SEM dari Bi₂₅FeO₄₀ [41]

b. Analisis Morfologi dengan Menggunakan TEM dan HRTEM

Informasi lebih rinci tentang morfologi mikroskopik dan struktur kristal dari senyawa bismuth ferrite dapat diperoleh dari analisis citra TEM dan HRTEM. Sampel bismuth ferrite yang disintesis menggunakan metode hidrotermal dengan suhu reaksi 160°C menunjukkan struktur micron-scale plate yang terdiri dari puluhan partikel berukuran nanometer. Selain itu gambar pola selected area electron diffraction (SAED) menunjukkan sifat polikristalin dari nanopartikel bismuth ferrite. Dari citra TEM yang diperoleh juga dipastikan bahwa sampel tersebut terdiri atas nanopartikel [7]. Citra TEM dan Pola SAED dari penelitian tersebut dapat dilihat pada gambar 6.



Gambar 6. (a-c) Citra TEM dari pembesaran rendah hingga tinggi dan (d) pola SAED dari sampel *bismuth ferrite* yang disintesis dengan suhu reaksi 160°C [7].

Penelitian sebelumnya yang telah dilakukan oleh penulis, citra TEM dari nanopartikel bismuth ferrite menunjukkan bahwa morfologi dari nanopartikel tersebut teraglomerasi dengan bentuk yang hampir bulat dan pola SAED dari sampel yang diteliti menunjukkan bahwa struktur kristal bismuth ferrite adalah polikristalin [20].

Y. Sun et al. menampilkan citra TEM dari sampel bismuth ferrite jenis BiFeO₃ dan Bi₂₅FeO₄₀ yang disintesis dengan metode hidrotermal. Citra TEM sampel bismuth ferrite dengan suhu reaksi 100°C yang diidentifikasi merupakan fase Bi₂₅FeO₄₀ dari hasil XRD menunjukkan bahwa sampel tersebut terdiri dari nanoflakes dengan ukuran 20 nm. Dalam penelitian ini dijelaskan bahwa proses pembentukan bismuth ferrite dalam sistem hidrotermal dibagi ke dalam dua tahap. Tahap pertama Bi(OH)₃ dan Fe(OH)₃ yang larut pada suhu yang rendah dan tekanan tinggi dipengaruhi oleh Kalium hidroksida (KOH). Tahap kedua, serbuk yang tidak larut dari bismuth ferrite kemudian mengendap dari kondisi fluida hidrotermal yang jenuh berlebih. Pada tahap ini, sebagian besar kristalit bismuth ferrite bernukleasi lalu tumbuh menjadi partikel kristal benih kecil dalam larutan jenuh berlebih. Seiring dengan berjalannya reaksi, partikel kristal benih kecil tadi dapat tumbuh menjadi partikel akhir dari bismuth ferrite. Menurut penelitian ini, Suhu reaksi sebesar 100°C masih terlalu rendah yang mengakibatkan nukleasi kristal Bi₂₅FeO₄₀ selama proses reaksi tidak dapat tumbuh sepenuhnya, jadi hanya dapat diperoleh morfologi nanoflakes dengan ukuran 20 nm [35].

4. Kesimpulan

Bismuth ferrite telah banyak diteliti dengan berbagai metode sintesis, diantaranya dengan metode hidrotermal, sol-gel, kopresipitasi, microwave assisted hidrotermal, combustion, dan lainlain. Metode sintesis yang beragam ini dimaksudkan untuk mengontrol ukuran, bentuk dan morfologi dengan sifat yang diinginkan. Beberapa metode tersebut telah berhasil mendapatkan material bismuth ferrite dengan beberapa struktur fase, yaitu BiFeO₃, Bi₂₅FeO₄₀, dan Bi₂Fe₄O₉. Bi₂₅FeO₄₀ merupakan bismuth ferrite jenis sillenite yang memiliki struktur body-center cubic dan termasuk dalam kelompok grup ruang 123. Beberapa penelitian telah berhasil mendapatkan fase Bi₂₅FeO₄₀ murni tanpa adanya impuritas. Rata-rata ukuran kristalit dari fase Bi₂₅FeO₄₀ beragam yaitu berkisar skala puluhan hingga ratusan nanometer. Selain itu, morfologi dari Bi25FeO40 juga beragam mulai dari bentuk bulat, kubik, sampai polyhedral. Morfologi dari bismuth ferrite juga terlihat teraglomerasi di beberapa penelitian. Pola SAED menunjukkan Bi₂₅FeO₄₀ memiliki struktur kristal polikristalin. Struktur kristal, ukuran partikel, dan morfologi yang dihasilkan oleh bismuth ferrite ini dapat dipengaruhi oleh metode sintesis dan parameter pemrosesan yang digunakan. Penelitian ini hanya fokus kepada struktur kristal dan morfologi dari bismuth ferrite tipe sillenite Bi₂₅FeO₄₀, sehingga untuk menghasilkan informasi yang lebih rinci diharapkan adanya perkembangan cakupan kajian yang lebih luas lagi terhadap sifat-sifat lain dari Bi $_{25}$ Fe $m O_{40}$

seperti sifat magnetik, elektrik dan optiknya, sehingga dapat dijadikan acuan bagi peneliti lain untuk mengembangkan material Bi₂₅FeO₄₀ kedalam berbagai aplikasi.

Kontribusi Penulis

E. Juwita: Menyusun draf awal, merancang konsep, investigasi, mengumpulkan data, merancang metodologi, memvisualiasi, meninjau dan menyunting naskah. R. Cuana dan W. Andaresta: Memvalidasi, meninjau dan menyunting naskah.

Konflik Kepentingan

Penulis menyatakan bahwa tidak ada konflik kepentingan, baik secara finansial, akademik, maupun pribadi, yang dapat memengaruhi hasil penelitian dan penulisan artikel ini.

Ucapan Terimakasih

Penulis mengucapkan terimakasih kepada semua pihak yang terlibat baik secara langsung maupun tidak langsung dalam penelitian ini.

Daftar Pustaka

- [1] M. Arifani *et al.*, "Sintesis Multiferoik BiFeO₃ Berbasis Pasir Besi dengan Metode Sol Gel," *J. Sains dan Seni ITS*, vol. 1, no. 1, pp. 1–4, 2012.
- [2] R. Safi and H. Shokrollahi, "Physics, Chemistry and Synthesis Methods of Nanostructured Bismuth ferrite (BiFeO₃) as a Ferroelectro-Magnetic Material," *Prog. Solid State Chem.*, vol. 40, pp. 6–15, 2012, doi: 10.1016/j.progsolidstchem.2012.03.001.
- [3] F. A. Sulistiani, "Kajian Struktur Kristal dan Sifat Magnetik Nanopartikel Multiferroic Bismuth Ferrite," Tesis, Universitas Gadjah Mada, Yogyakarta, Indonesia, 2020.
- [4] D. Misiurev *et al.*, "Brief Theoretical Overview of Bi-Fe-O Based Thin Films," *Materials* (*Basel*)., vol. 15, no. 24, 2022, doi: 10.3390/ma15248719.
- [5] J. Wu *et al.*, "Multiferroic Bismuth Ferrite-based Materials for Multifunctional Aplications: Ceramic Bulks, Thin Films and Nanostructures," *Prog. Mater. Sci.*, vol. 84, pp. 335–402, 2016, doi: 10.1016/j.pmatsci.2016.09.001.
- [6] X. Chen *et al.*, "Ferrite Bismuth-based Nanomaterials: from Ferroelectric and Piezoelectric Properties to Nanomedicine Aplications," *Colloids Surfaces B Biointerfaces*, vol. 233, 2024, doi: 10.1016/j.colsurfb.2023.113642.
- [7] F. Sharmin and M. A. Basith, "Simple Low Temperature Technique to Synthesize Sillenite Bismuth Ferrite with Promising Photocatalytic Performance," *ACS Omega*, vol. 7, no. 39, 2022, pp. 34901–34911, doi: 10.1021/acsomega.2c03457.
- [8] H. Wu *et al.*, "Fabrication , Characterization , Properties , and Aplications of Low-Dimensional BiFeO₃ Nanostructures," *J. Nanomater.*, vol. 2014, doi: 10.1155/2014/471485
- [9] M. K. Verma *et al.*, "Bi₂₅FeO₄₀ Polycrystalline Ceramic as Highly Efficient Photocatalyst Synthesised via Economical Chemical Route," *Mater. Technol.*, vol. 35, no. 8, pp. 483–493, 2020, doi: 10.1080/10667857.2019.1701239.
- [10] F. E. N. Ramirez *et al.*, "Humidity Sensing Effect in Bi₂₅FeO₃₉ Sillenite-like Compound," *J Mater. Sci*, vol. 51, pp. 10982–10989, 2016, doi: 10.1007/s10853-016-0310-0.
- [11] M. M. Rashad, "Effect of Synthesis Conditions on The Preparation of BiFeO₃ Nanopowders using Two Different Methods," *J. Mater. Sci. Mater. Electron.*, vol. 23, no. 4,

- pp. 882-888, 2012, doi: 10.1007/s10854-011-0513-8.
- [12] M. Dziubaniuk *et al.*, "Aplication of Bismuth Ferrite Protonic Conductor for Ammonia Gas Detection," *Sensors Actuators, B Chem.*, vol. 188, pp. 957–964, 2013, doi: 10.1016/j.snb.2013.08.020.
- [13] S. Mittal *et al.*, "A Review on Recent Progressions of Bismuth Ferrite Modified Morphologies as an Effective Photocatalyst to Curb Water and Air Pollution," *Inorg. Chem. Commun.*, vol. 144, 2022, doi: 10.1016/j.inoche.2022.109834.
- [14] A. J. C. Buurma *et al.*, Multiferroic Materials: Physics and Properties. *Elsevier Ltd.*, 2016. doi: 10.1016/B978-0-12-803581-8.09245-6.
- [15] S. Godara *et al.*, "Combined Structural, Electrical, Magnetic and Optical Characterization of Bismuth Ferrite Nanoparticles Synthesized by Auto-Combustion Route," *J. Asian Ceram. Soc.*, vol. 2, no. 4, pp. 416–421, 2014, doi: 10.1016/j.jascer.2014.09.001.
- [16] H. M. Hashem and M. H. Hamed, "Preparation Parameters Optimization and Structure Investigation of Multiferroic Bismuth Ferrite," *Mater. Chem. Phys.*, vol. 211, pp. 445–451, 2018, doi: 10.1016/j.matchemphys.2018.03.012.
- [17] M. Pooladi *et al.*, "A review of the Structure, Magnetic and Electrical Properties of Bismuth Ferrite (Bi₂Fe₄O₉)," *Ceram. Int.*, vol. 46, no. 11, pp. 18453–18463, 2020, doi: 10.1016/j.ceramint.2020.04.241.
- [18] O. Baaloudj *et al.*, "Bismuth Sillenite Crystals as Recent Photocatalysts for Water Treatment and Energy Generation: A Critical Review," *Catalysts*, vol. 12, 2022, doi: 10.3390/catal12050500.
- [19] P. Kumari and N. Khare, "Structural, Optical and Magnetic Properties of Bi₂₅FeO₄₀ Nanoparticles Synthesized by Hydrothermal Method," *Springer Proc. Phys.*, vol. 178, pp. 139–143, 2017, doi: 10.1007/978-3-319-29096-6_18.
- [20] E. Juwita *et al.*, "Microstructural, Optical and Magnetic Properties and Specific Absorption Rate of Bismuth Ferrite/SiO₂ Nanoparticles," *Mater. Res. Express*, vol. 9, no. 7, 2022, doi: 10.1088/2053-1591/ac804e.
- [21] S. Kalikeri and V. S. Kodialbail, "Solar Light-Driven Photocatalysis Using Mixed-phase Bismuth Ferrite (BiFeO₃/Bi₂₅FeO₄₀) Nanoparticles for Remediation of Dye Contamined Water: Kinetics and Comparison with Artificial UV and Visible Light-mediated Photocatalysis," *Environ. Sci. Pollut. Res.*, pp. 13881–13893, 2018, doi:10.1007/s11356-018-1291-0.
- [22] R. Köferstein *et al.*, "Investigations on Bi₂₅FeO₄₀ Powders Synthesized by Hydrothermal and Combustion-like Processes," *J. Solid State Chem.*, vol. 217, pp. 50–56, 2014, doi: 10.1016/j.jssc.2014.05.006.
- [23] A. R. Goldman *et al.*, "Exploring Reaction Pathways in the Hydrothermal Growth of Phase-pure Bismuth Ferrites," *J. Cryst. Growth*, vol. 468, pp. 104–109, 2017, doi: 10.1016/j.jcrysgro.2016.09.054.
- [24] X. S. Nguyen, "Crystalline Bi₂₅FeO₄₀ Cluster Microspheres as Efficient Photo-Fenton Catalysts for Rhodamine B Degradation," *Int. J. Adv. Eng. Res. Sci.*, vol. 9, no. 12, pp. 325–330, 2022, doi: 10.22161/ijaers.912.35.
- [25] W. Cao *et al.*, "Rapid Synthesis of Single-phase Bismuth Ferrite by Microwave-assisted Hydrothermal Method," *Mater. Chem. Phys.*, vol. 175, pp. 1–5, 2016, doi: 10.1016/j.matchemphys.2016.02.067.
- [26] K. Chybczynska *et al.*, "PEG-controlled Thickness of BiFeO₃ Crystallites in Microwave Hydrothermal Synthesis," *Mater. Res. Bull.*, vol. 86, pp. 178–185, 2017, doi: 10.1016/j.materresbull.2016.10.024.

- [27] F. A. Sulistiani *et al.*, "Effects of NaOH Concentration and Temperature on Microstructures and Magnetic Properties of Bismuth Ferrite (BiFeO₃) Nanoparticles Synthesized by Coprecipitation Method, "Key Eng. Mater., vol. 855 KEM, pp. 9–15, 2020, doi: 10.4028/www.scientific.net/KEM.855.9.
- [28] H. Wu *et al.*, "Microstructural, Optical and Magnetic Characterizations of BiFeO₃ Multiferroic Nanoparticles Synthesized via a Sol-Gel Process," *J. Alloys Compd.*, vol. 731, pp. 471–477, 2018, doi: 10.1016/j.jallcom.2017.10.087.
- [29] Arti *et al.*, "Improved Ferroelectric, Magnetic and Photovoltaic Properties of Pr Doped Multiferroic Bismuth Ferrites for Photovoltaic Application," *Results Phys.*, vol. 14, 2019, doi: 10.1016/j.rinp.2019.102403.
- [30] J. Penalva and A. Lazo, "Synthesis of Bismuth Ferrite BiFeO₃ by Solution Combustion method," J. Phys. Conf. Ser., vol. 1143, no. 1, 2018, doi: 10.1088/1742-6596/1143/1/012025
- [31] L. Ren *et al.*, "Enhanced Degradation of Organic Pollutants using Bi₂₅FeO₄₀ Microcrystals as a Efficient Reusable Heterogeneous Photo-Fenton like Catalyst," *Catal. Today*, pp. 1–6, 2016, doi: 10.1016/j.cattod.2016.06.028.
- [32] T. Gao *et al.*, "A review: Preparation of Bismuth Ferrite Nanoparticles and its Aplications in Visible-Light Induced Photocatalyses," *Rev. Adv. Mater. Sci.*, vol. 40, no. 2, pp. 97–109, 2015.
- [33] Q. Zhang *et al.*, "Chemical Route Derived Bismuth Ferrite Thin Films and Nanomaterials," *J. Mater. Chem. C*, vol. 4, no. 19, pp. 4092–4124, 2016, doi: 10.1039/c6tc00243a.
- [34] N. Zhu *et al.*, "Surface Modification of Magnetic Iron Oxide Nanoparticles," *Nanomaterials*, vol. 8, pp. 1–27, 2018, doi: 10.3390/nano8100810.
- [35] Y. Sun *et al.*, "Study on Visible Light Response and Magnetism of Bismuth Ferrites Synthesized by a Low Temperature Hydrothermal Method," *Ceram. Int.*, vol. 39, no. 4, pp. 4651–4656, 2013, doi: 10.1016/j.ceramint.2012.10.212.
- [36] H. Jebari *et al.*, "Theoretical Investigation of Electronic, Magnetic and Magnetocaloric Properties of Bi₂₅FeO₄₀ Compound," *Phase Transitions*, vol. 94, no. 3–4, pp. 147–158, 2021, doi: 10.1080/01411594.2021.1931690.
- [37] S. S. Flores Morales *et al.*, "Synthesis of Bi₂₅FeO₃₉ by Molten Salts Method and its Mössbauer Spectrum," *Phys. B Condens. Matter*, vol. 504, pp. 109–111, 2017, doi: 10.1016/j.physb.2016.10.019.
- [38] M. Zhou *et al.*, "Hydrothermal Synthesis of Bismuth Ferrite Fenton-like Catalysts and their Properties," *J. Nanoparticle Res.*, vol. 18, no. 11, 2016, doi: 10.1007/s11051-016-3665-x.
- [39] Y. Wang *et al.*, "Novel Nanoparticle-Assembled Tetrakaidekahedron Bi₂₅FeO₄₀ as Efficient Photo-Fenton Catalysts for Rhodamine B Degradation," *Adv. Powder Technol.*, vol. 33, no. 5, pp. 103579, 2022, doi: 10.1016/j.apt.2022.103579.
- [40] A. L. Zinnatullin *et al.*, "Magnetic Dipolar Correlations in Sillenite-Structure Bismuth Ferrite: Magnetic and Mössbauer Effect Studies," *J. Phys. Chem. Solids*, vol. 164, 2022, doi: 10.1016/j.jpcs.2022.110632.
- [41] Z. Xiong and L. Cao, "Tailoring Morphology, Enhancing Magnetization and Photocatalytic Activity via Cr Doping in Bi₂₅FeO₄₀," *J. Alloys Compd.*, vol. 773, pp. 828–837, 2019, doi: 10.1016/j.jallcom.2018.09.344.
- [42] G. Wang *et al.*, "Enhanced Visible-light Responsive Photocatalytic Activity of Bi₂₅FeO₄₀/Bi₂Fe4O₉ Composites and Mechanism Investigation," *J. Mater. Sci. Mater. Electron.*, vol. 30, no. 11, pp. 10923–10933, 2019, doi: 10.1007/s10854-019-01436-4.